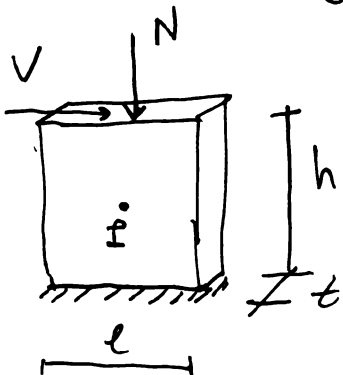


• circolare 617/2009  $\phi C.P.7.1.5$ , formula (P.7.1.1)

$$V_t = l \cdot t \cdot \frac{1.5 \tau_{od}}{b} \sqrt{1 + \frac{\sigma_0}{1.5 \tau_{od}}} = l \cdot t \cdot \frac{f_{td}}{b} \sqrt{1 + \frac{\sigma_0}{f_{td}}}$$

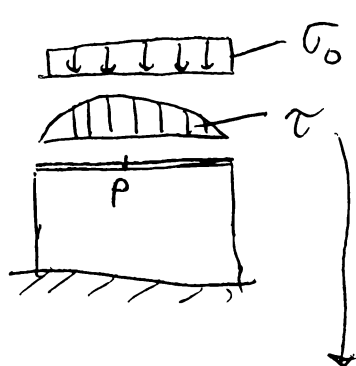


$$1 \leq b \leq 1.5$$

$f_{td}$  = resistenza a trazione per flessione  
diefese e  
 $\tau_{od}$  = corrispondente resistenza a taglio di  
riferimento [in condizioni di sforzo  
normale]

$$\sigma_0 = N/(A) \leftarrow A = l \cdot t$$

- stato di tensione al centro del pannello



$\sigma_0 \Rightarrow$  in realtà ci sarebbe meno flessione anche con  $N$  centrato (c'è il momento  $V \cdot \frac{b}{2}$ ), ma nel punto centrale, almeno se l'eccentricità è minore di  $l/6$  (sezione non perfettamente), la tensione è propria  $\sigma_0$

la distribuzione delle  $\tau$  non è proprio nota, ma si suppone che il valore (massimo) al centro sia proporzionale alle tensioni tangenziali medie  $\bar{\tau} = V/A \rightarrow l \cdot t$

$$\text{Onde } \tau_p = \tau_{max} = b \cdot \bar{\tau}$$

$b$  si considera compreso fra 1 (pannelli torzati) e 1.5 (pannelli snelli), onde si suppone che la distribuzione delle tensioni tangenziali possa venire da un profilo costante  $\tau(x) = \bar{\tau}$  (per rapporti  $h/e \leq 1$ ) o un profilo parabolico con  $\tau(l/2) = 1.5 \bar{\tau}$  (per rapporti  $h/e \geq 1.5 \rightarrow$  vedi teorie delle travi (Tourawsky))

[resistenza a taglio per trazione]

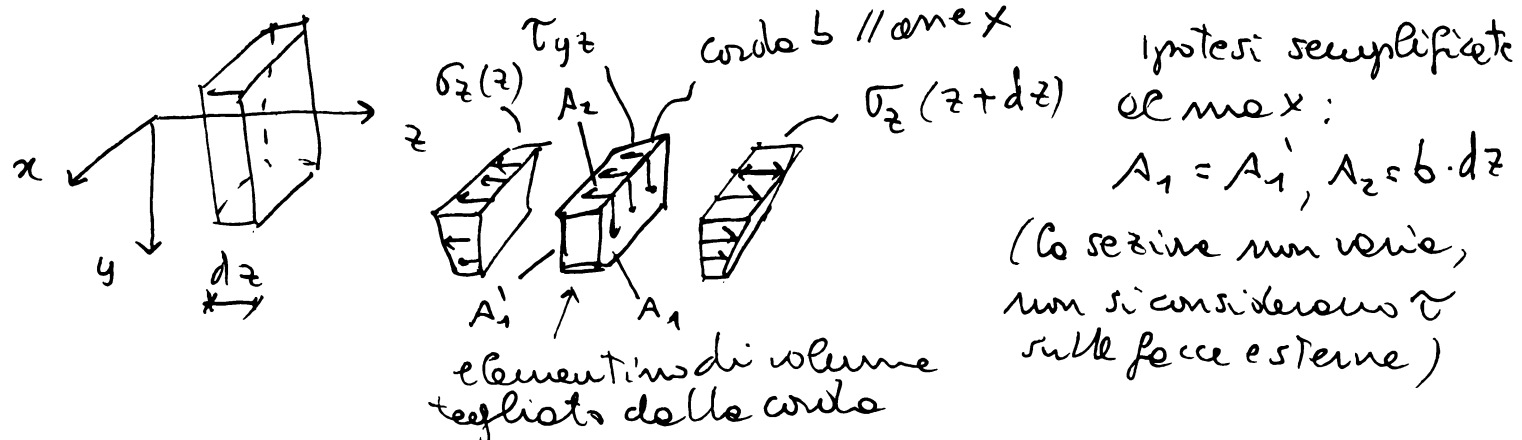
Padova, 28/5/2014

(2)

JOURAWSKY - Trattazione approssimata del taglio

→ teorema per i solidi di De Saint Venant (trave, facce laterali non coniche)

versione semplificata per sezioni rettangolari



Equilibrio alla trazione in direzione  $z$

$$\int_{A_1} \sigma_z(z+dz) dA - \int_{A_1} \sigma_z(z) dA - \int_{A_2} \tau_{yz}(x,z) dA = 0$$

$\overset{A_1}{\underset{A_1'}{\sim}}$        $\overset{A_2}{\underset{A_2'}{\sim}}$

perché le corde sono parallele all'asse  $x$  ( $y = \text{cost}$ )

Sviluppo in serie di Taylor  
(al minimo ordine)

Volendo si potrebbe generalizzare a corde inclinate

$$\sigma_z(z+dz) = \sigma_z(z) + \frac{\partial \sigma_z(z)}{\partial z} \cdot dz$$

$$\int_{A_1} \left( \sigma_z(z) + \frac{\partial \sigma_z(z)}{\partial z} dz - \sigma_z(z) \right) dA - \int_{A_2} \tau_{yz}(x,z) dA = 0$$

$$\int_{A_1} \frac{\partial \sigma_z(z)}{\partial z} dz dA - \int_{A_2} \tau_{yz}(x,z) dA = 0 \quad \int dA = b \cdot dz = A_2$$

$\overset{A_1}{\underset{A_1'}{\sim}}$        $\overset{A_2}{\underset{A_2'}{\sim}}$

se  $\sigma_z$  non dipende da  $dA$ , si può portare fuori l'integrale  $\tau_{yz}$

$$dz \cdot \int_{A_1} \frac{\partial \sigma_z(z)}{\partial z} dA - \bar{\tau}_{yz} b dz = 0$$

$$= \int_{A_1} \bar{\tau}_{yz} = \frac{1}{b} \int_{A_1} \frac{\partial \sigma_z(z)}{\partial z} dA$$

$dz$  è arbitrario,  
quindi non nullo, e  
si può semplificare

Formule di Navier (semplificate, solo un momento  $M_{gc}$ )<sup>(3)</sup>

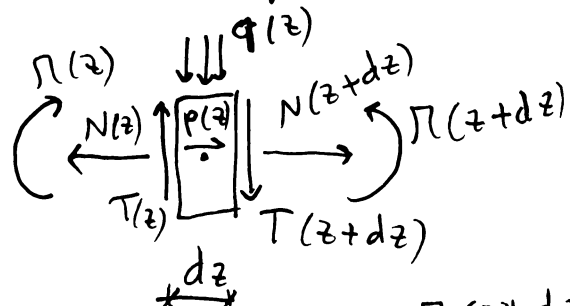
$$\tau_z(y) = \frac{N}{A} + \frac{M_x}{J_x} \cdot y \left( -\frac{\tau_y}{J_y} x \right)$$

non lo consideriamo  
derviadolo rispetto a  $z$  (con  $N$  costante) si ottiene:

$$\frac{\partial \tau_z(z)}{\partial z} = 0 + \frac{\partial \tau_x(z)}{\partial z} \cdot \frac{y}{J_x} \rightarrow \begin{array}{l} \text{considerato costante el mome} \\ \text{to di } z \text{ (la sezione non varia)} \end{array}$$

### Equazioni indefinite di equilibrio delle travi

Caso semplice: travi piane ed ore rettilinee



Eq. rotazione attorno al baricentro

$N$  non dà contributo, neanche  $P$  e  $q$

$$M(z+dz) - M(z) + T(z+dz) \frac{dz}{2} - T(z) \frac{dz}{2} = 0$$

$$M(z+dz) = M(z) + \frac{dM}{dz} dz \quad T(z+dz) = T(z) + \frac{dT}{dz} dz$$

~~$$M(z) + \frac{dM}{dz} \cdot dz - M(z) - T(z) \frac{dz}{2} - \frac{dT}{dz} \frac{dz^2}{2} - T(z) \frac{dz}{2} = 0$$~~

$$\frac{dM(z)}{dz} = T(z)$$

trascurabile

$dz$  arbitrario  
si semplifica

quindi si ottiene  $\frac{\partial \tau_z(z)}{\partial z} = \frac{\partial \tau_x(z)}{\partial z} \cdot \frac{y}{J_x} = \frac{T_y(z)}{J_x} \cdot y$

tornando a  $\bar{\tau}_{yz} = \frac{1}{b} \int \frac{\partial \tau_z(z)}{\partial z} \cdot dA$

$$\bar{\tau}_{yz} = \frac{1}{b} \int_A \frac{T_y(z)}{J_x} \cdot y \cdot dA = \frac{T_y}{J_x \cdot b} \cdot \int_A y \cdot dA$$

quindi  $\bar{\tau}_{yz} = \frac{T_y S^*}{J_x \cdot b}$

L'approssimazione di Jourawsky consiste nel considerare la tensione  $\bar{\tau}_{yz}$  (che è la media lungo la corda) come uniforme sulla corda

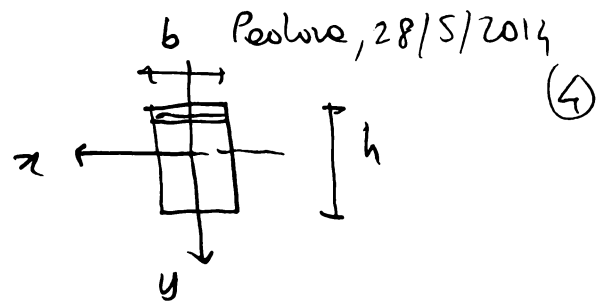
questo termine  
è il momento  
statico della  
tangente delle  
cordenate, detto  $S^*$

[resistenza a Taglio per trazione]

Nel caso di sezioni rettangolari:

$$J_{xx} = \int_A y^2 \cdot dA = \int_{y=-h/2}^{h/2} y^2 \cdot b \cdot dy$$

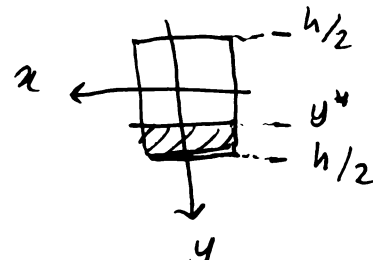
$$= b \left[ \frac{y^3}{3} \right]_{-h/2}^{h/2} = b \left( \frac{h^3}{3 \cdot 8} - \left( -\frac{h^3}{3 \cdot 8} \right) \right) = \frac{1}{12} b h^3$$



$$S^* = \int_A y \cdot dA = \int_{y=y^*}^{h/2} y \cdot b \cdot dy$$

$$= b \int_{y=y^*}^{h/2} y dy = b \left[ \frac{y^2}{2} \right]_{y^*}^{h/2}$$

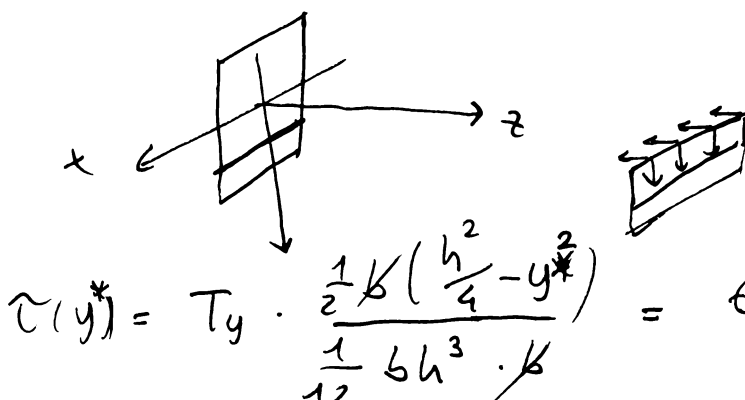
$$= \frac{b}{2} \left( \frac{h^2}{4} - y^{*2} \right)$$



$$\rightarrow \max \text{ per } y^* = 0 \rightarrow S^*(0) = \frac{1}{8} b h^2$$

• Variazione di  $|\bar{\tau}_{yz}|$  lungo  $y$ :

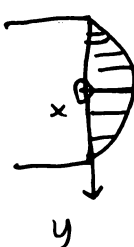
Supponiamo una distribuzione uniforme lungo le corde  $\parallel x$



$$\bar{\tau}(y) = \frac{T_y \cdot S^*}{J_x \cdot b}$$

$$\bar{\tau}(y^*) = T_y \cdot \frac{\frac{1}{2} b \left( \frac{h^2}{4} - y^{*2} \right)}{\frac{1}{12} b h^3 \cdot b} = 6 \frac{T_y}{b \cdot h} \left( \frac{1}{4} - \frac{y^{*2}}{h^2} \right) = \frac{3}{2} \frac{T_y}{b h} \left( 1 - \frac{4 y^{*2}}{h^2} \right)$$

$\bar{\tau}(y)$  è quindi una parabola con vertex nullo a  $\pm \frac{h}{2}$  e valore massimo (vertice in  $y=0$ ) pari a  $\frac{3}{2} \frac{T_y}{b h} = 1.5 \bar{\tau}_y$



$$\text{se } \bar{\tau}_y = \frac{T_y}{A \rightarrow b \cdot h} \Rightarrow \boxed{\bar{\tau}_{\text{max}} = 1.5 \bar{\tau}_y}$$

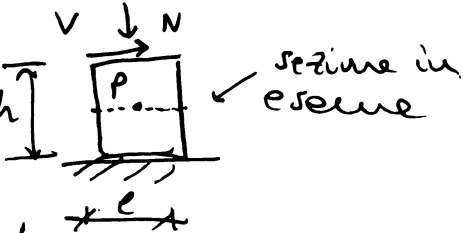
1.5 è infatti il valore di  $b$  suggerito per pannelli snelli (che quindi si misura comportarsi più similmente a una trave)

(S)

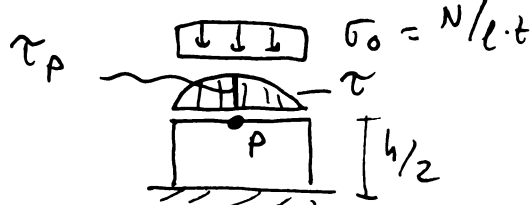
1.S è proprio il valore indicato da Turnsek e Čačović per muri con  $b/e \geq 1.5$  (muri snelli) [dico che vale bene anche per  $b/d > 0.67$  (i.e.  $\frac{2}{3}$ ), e potto dire che l'eccentricità sia minore di  $l/6$ ]

Riassumendo: si considera lo stato di tensione al centro del pennello univoro (punto P)

Si ipotizza una distribuzione uniforme  $h$  di tensioni normali  $\sigma_0 = \frac{N}{l \cdot t}$



Si ipotizza una distribuzione di tensioni tangenziali  $\tau$  che varia da uniforme (pennelli torzi,  $b/e \leq 1$ ) a parabolica (pennelli univori snelli) con  $b/e \geq 1.5$ ). Quest'ultima deriva dalle teorie del taglio per sezioni rettangolari (Jourawsky)



Se centro del pennello si considera quindi segnate  $\sigma_0$  e  $\tau_p$

$\tau_p$  è proporzionale alla  $\bar{\tau}$  media data da  $V/l \cdot t$ :  $\tau_p = b \cdot \bar{\tau}$

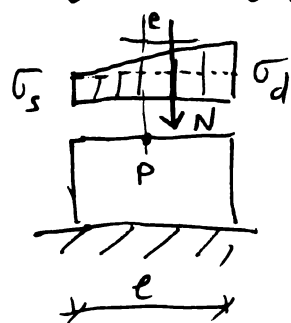
Il fattore di proporzionalità  $b$  varia quindi fra 1 e 1.5, secondo le ipotesi enunciate

$$\Rightarrow \bar{\tau} \leq \tau_p \leq 1.5 \bar{\tau}$$

$\tau_p$  è la tensione tangenziale massima, che si ha al centro del pennello

A rigore, la tensione normale non sarebbe uniformemente distribuita nella sezione centrale del pennello, poiché c'è un momento pari a  $V \cdot h/2$  che sposta lo risultante delle compressioni, però, se l'eccentricità è minore di  $l/6$  (che  $N$  contiene nel nucleo centrale), allora la tensione normale in P è comunque  $\sigma_0$  (sezione non perfettamente

Infatti, se la sezione non è perzialezzata (ovia  $e \leq l/6$ ) la distribuzione di  $\sigma$  è trapezoidale, o più triangolare

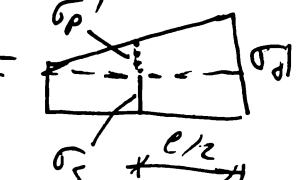


$$\text{Per l'equilibrio: } N = \frac{\sigma_s + \sigma_d}{2} \cdot e \cdot t$$

$$\frac{N}{e \cdot t} = \sigma_0 = \frac{\sigma_s + \sigma_d}{2}$$

In P, le tensioni saranno date dalla somma di  $\sigma_s$  (al più nullo) e  $\sigma_p'$

$$\frac{\sigma_p'}{e/2} = \frac{\sigma_d - \sigma_s}{e} \Rightarrow \sigma_p' = \frac{1}{2} (\sigma_d - \sigma_s)$$

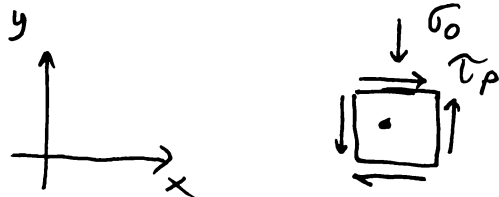


$$\text{quindi } \sigma_p = \sigma_s + \sigma_p' = \sigma_s + \frac{1}{2} \sigma_d - \frac{1}{2} \sigma_s = \frac{1}{2} (\sigma_s + \sigma_d) = \sigma_0$$

$$\text{ovia } \underline{\underline{\sigma_p}} = \underline{\underline{\sigma_0}}$$

Nota: ciò non sembra valere per sezioni perzialezzate! Quindi?

- Stato di tensione attorno al punto centrale I



$$\text{direzione } y: \sigma_y = -|\sigma_0| < 0$$

$$\text{convenzione di } \tau_{yx} = \tau_p = b \cdot \bar{\tau}$$

Rohr: positivo perché tende a permutare i volumetti in senso orario

Nota: ovviamente

$\sigma_0$  come valore

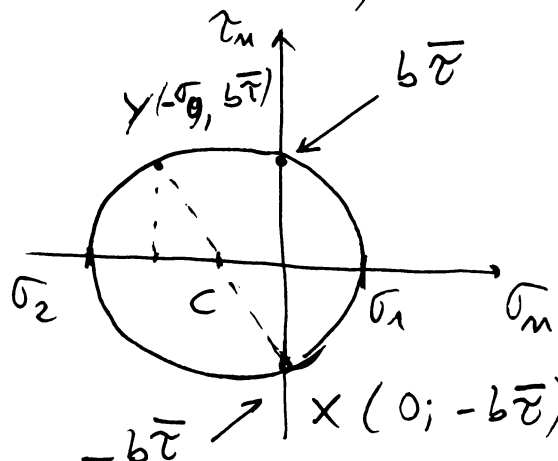
positivo (modulo

negativo ma ce

della tensione normale) convenzione di Rohr

$$\text{direzione } x: \sigma_x = 0$$

$$\tau_{xy} = -\tau_{yx} = -b \cdot \bar{\tau}$$



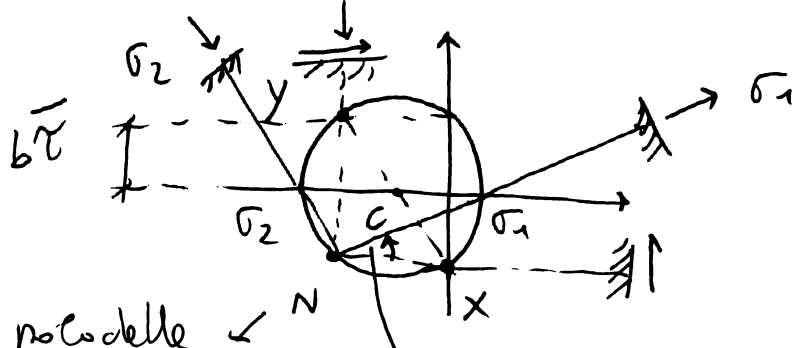
X → rappresenta le tensioni sul piano di normale // one x

Y → ... sul piano di normale // y

$$C: \sigma_c = \frac{1}{2} (\sigma_x + \sigma_y) = -\frac{\sigma_0}{2}$$

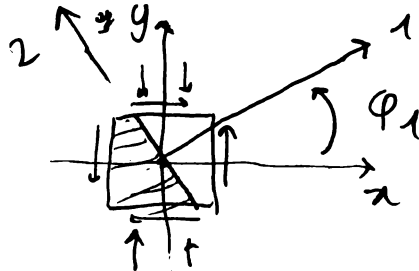
$$\gamma_c = 0$$

Cerchio di Mohr per lo stato di tensione del centro del pomello



polo delle  
giaciture

angolo phi\_1 tra le direzioni principali 1 e 2



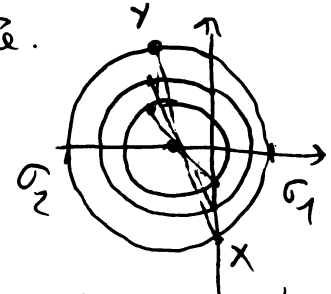
Quello che interessa è il valore di  $\sigma_1$ , tensione principale di trazione: tenendo fissa  $\sigma_2$ , che è un dato di progetto, si faccia aumentare il valore delle forze orizzontali  $V$  (quindi di  $\bar{\tau} = \frac{V}{bt}$ ) e, di conseguenza, il valore di  $\tau_p = b \cdot \bar{\tau}$  che è il minimo sforzo tangenziale che si ha, comunque, al centro del pomello)

I corrispondenti archi sono concentrici ( $x_c = -\frac{\tau_p}{2}$  che non varia,  $y_c = 0$ ) con raggio che aumenta (infatti aumenta il valore della tensione tangenziale).

Quindi aumentano  $\sigma_2$  (tensione principale di compressione) e  $\sigma_1$  (tens. princ. di trazione).

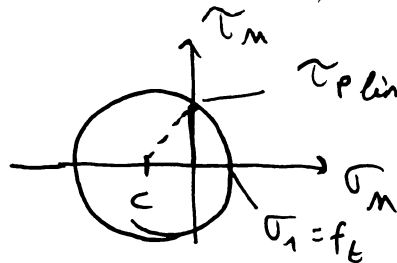
Assumendo che, in ogni caso,  $\sigma_2$  si mantenga ben al di sotto della resistenza e compressione delle armature, ne consegue che la condizione limite risulta quando

$\sigma_1 = F_t$ , ovie le tens. princip. di trazione egualghe la resistenza a trazione delle armature (ovviamente pensate sino dall'inizio come un materiale omogeneo ed un continuo omogeneo ed isotropo, in via semplificativa)



(8)

Finete  $\sigma_0$ , quale tensione tangenziale corrisponde (nel punto P) al raggiungimento di  $\sigma_1 = f_t$ ?



$$\tau_{p,lim} = b \cdot \bar{\tau}_{lim}$$

Raggio del cerchio limite:

$$\begin{aligned} R &= \sigma_1 - x_c = \sigma_1 - \left(-\frac{\sigma_0}{2}\right) \\ &= [\sigma_1 = f_t] = f_t + \frac{\sigma_0}{2} \end{aligned}$$

Per il teorema di Pitagora,  $R^2 = (x_c)^2 + (\tau_{p,lim})^2$

$$\begin{aligned} &= \frac{\sigma_0^2}{4} + \tau_{p,lim}^2 \end{aligned}$$

quindi  $f_t^2 + \frac{\sigma_0^2}{4} + f_t \cdot \sigma_0 = \cancel{\frac{\sigma_0^2}{4}} + \tau_{p,lim}^2$

$$\tau_{p,lim}^2 = f_t^2 \left(1 + \frac{\sigma_0}{f_t}\right)$$

$$\boxed{\tau_{p,lim} = f_t \sqrt{1 + \frac{\sigma_0}{f_t}}}$$

Ricordando che  $\bar{\tau}_{p,lim} = b \cdot \bar{\tau}_{lim}$ :  $b \bar{\tau}_{lim} = f_t \sqrt{1 + \frac{\sigma_0}{f_t}}$

quindi  $\bar{\tau}_{lim} = \frac{f_t}{b} = \frac{f_t}{6} \sqrt{1 + \frac{\sigma_0}{f_t}}$

Se, come da convenzione, indichiamo con  $\tau_{od}$  la resistenza media a taglio in presenza di sforzo normale ( $\sigma_0 = 0$ ), otteniamo che  $\tau_{od} = \frac{f_t}{6} \Rightarrow f_t = 6 \cdot \tau_{od}$

di conseguenza  $\bar{\tau}_{lim} = \frac{6 \cdot \tau_{od}}{6} \cdot \sqrt{1 + \frac{\sigma_0}{6 \cdot \tau_{od}}} \quad$  se sostituiamo  $f_t$

In conclusione, le resistenze a taglio calcolate come sopra posse il seguente valore critico di forza di taglio (critico in relazione alla formazione di genghe):

$$V_a = l \cdot t \cdot \bar{\tau}_{lim} = l \cdot t \cdot \tau_{od} \sqrt{1 + \frac{\sigma_0}{6 \cdot \tau_{od}}} = l \cdot t \cdot \frac{f_t}{6} \sqrt{1 + \frac{\sigma_0}{f_t}}$$

NON È  $\frac{1.5 \tau_{od}}{6}$

→ la prima parte della formula F.7.7.1 non è corretta